

Основное преимущество такой постановки эксперимента состоит в том, что можно использовать более толстые мишени, чем при облучении их электронами. Следует отметить, что фейнмановская диаграмма, соответствующая реакции (9), будет содержать дополнительную электромагнитную вершину взаимодействия, что приведет к уменьшению сечения по сравнению с (8) на величину порядка  $10^{-2}$  [6]. Однако увеличение толщины мишени может компенсировать это различие.

Действительно, легко видеть, что в случае использования фотонов снимаются ограничения, связанные с пробегом электронов в мишени, и она может быть выбрана в 10–20 раз более толстой, чем при ее облучении электронами. Самопоглощение фотонов в такой мишени будет составлять примерно 10%.

Таким образом, можно обоснованно надеяться, что с помощью указанной выше техники и методики измерений эксперимент по фото- или электроиндуцированному распаду протона можно провести на имеющихся

ускорителях электронов. Подтверждение электро- или фотораспада протона откроет новые возможности для исследований целого ряда ядерных процессов в допороговой области значений энергии.

#### Литература

1. Варламов В.В., Сапуненко В.В., Степанов М.Е. Фотоядерные данные. 1976–1995: Указатель. М., 1996.
2. Тернов И.М., Родионов В.Н., Дорофеев О.Ф. // ЖЭТФ. 1983. **84**. С. 1225.
3. Тернов И.М., Родионов В.Н. и др. // Письма в ЖЭТФ. 1984. **37**. С. 288.
4. Никишов А.И., Рутус В.И. // ЖЭТФ. 1983. **85**. С. 24.
5. Ахмедов Е.Х. // ЖЭТФ. 1983. **85**. С. 1521.
6. Тернов И.М., Родионов В.Н., Дорофеев О.Ф. // Письма в ЖЭТФ. 1983. **9**. С. 230.
7. Tuli J.K. // Nuclear Wallet Cards. July 1995. National Nuclear Data Center. Brookhaven National Laboratory, USA.

Поступила в редакцию  
26.03.97

## РАДИОФИЗИКА

УДК 519.246, 524

### ЭКСПЕРИМЕНТАЛЬНОЕ ТЕСТИРОВАНИЕ АДАПТИВНОГО НАКОПИТЕЛЯ ИМПУЛЬСОВ В ГРАВИТАЦИОННО-ВОЛНОВОМ ЭКСПЕРИМЕНТЕ

М. П. Виноградов, А. В. Гусев, В. К. Милуков

(ГАИШ)

Приведены предварительные результаты тестирования адаптивного алгоритма накопления импульсов в гравитационно-волновом эксперименте с использованием экспериментальных данных баксанского длинноволнового деформографа ЛД-1 и каталога гамма-событий 3В BATSE. Для расчета характеристик обнаружения используется семейство кривых Пирсона.

1. Адаптивный алгоритм обработки информации в гравитационно-волновом эксперименте [1], основанный на синтезе некогерентного накопителя в условиях априорной неопределенности, был апробирован на данных высокочастотного ( $f_0 \approx 1,6$  кГц) «астрофизического» канала баксанского лазерного деформографа ЛД-1 [2]. Лазерный деформограф ЛД-1 представляет собой неравноплечий интерферометр Майкельсона с базой  $L \approx 75$  м. Чувствительность прибора к малым перемещениям зеркал  $\Delta L$  в килогерцовом диапазоне составляет

$$Y = \Delta L/L \approx (10^{-14} \div 10^{-15}) \text{ Гц}^{-1/2},$$

т.е. приближается к разрешающей способности твердотельных неохлаждаемых антенн веберовского типа [3].

В качестве входных данных в эксперименте используются квадратурные компоненты

$$Y_i = GY \cos[2\pi f_0 t + (i-1)(\pi/2)], \quad i = 1, 2,$$

формируемые синхронным двухканальным детектором,  $G(t)$  — импульсная характеристика сглаживающего

фильтра низких частот (ФНЧ). ФНЧ был реализован в виде фильтра Баттерворта второго порядка с полосой среза  $\omega_c \approx 2\pi$  рад/с. Так как сейсмические шумы вблизи резонансной частоты астрофизического канала можно рассматривать как квазистационарный широкополосный процесс, то практически фильтр Баттерворта можно считать квазиоптимальным фильтром при обнаружении импульсных сигналов с эффективной длительностью [4]  $\tau_s \approx \tau_c$ , где  $\tau_c = 2\pi/\omega_c \approx 1$  с.

В качестве предварительной оценки неизвестных моментов  $\tau_k$  возникновения гравитационных импульсов (под гравитационными событиями подразумевается аномальное поведение выходного сигнала астрофизического канала) использовались данные каталога 3В BATSE, содержащие информацию о моментах  $\xi_k$  космических гамма-вспышек:

$$\tau_k = \xi_k + \tau, \quad k = \overline{1, n_a},$$

где  $\tau$  — неизвестный временной сдвиг между гравитационными и астрофизическими событиями.

Погрешности  $\Delta \xi_k$  в оценке моментов  $\xi_k$  космических гамма-вспышек, обусловленные конечной крутизной

гамма-импульса, предполагаются достаточно малыми:

$$|\Delta\xi_k| \ll \tau_c \approx 1\text{с}.$$

В этом случае неопределенность моментов возникновения импульсов достаточно полно учитывается тем, что неопределенными и случайными считаются начальные фазы  $\varphi_k$  отдельных гравитационных импульсов [4].

Первичная статистическая обработка информации включала в себя исследование статистических характеристик векторного случайного процесса  $(Y_1, Y_2)$ . Сравнение выборочной интегральной функции распределения  $\hat{F}_r(r)$  нормированной огибающей

$$r = |\tilde{Y}|, \quad \tilde{Y} = (Y_1/\hat{\sigma}_1) + (Y_2/\hat{\sigma}_2)$$

( $\hat{\sigma}_1^2$  и  $\hat{\sigma}_2^2$  — выборочные дисперсии шума в отдельных каналах синхронного детектора) с рэлеевской функцией распределения

$$F_r(r) = r \exp\{-r^2/2\}, \quad r \geq 0,$$

подтвердило их статистическую близость с достоверностью  $\gamma = 0,95$ :

$$\max |\hat{F}_r(r) - F_r(r)| \leq \Delta_\gamma \approx 0,02,$$

где в соответствии с критерием Колмогорова—Смирнова [5]

$$\Delta_\gamma \approx \sqrt{(1/2)n \ln(2/\gamma)};$$

$n \approx 10^3$  — количество независимых отсчетов огибающей процесса на выходе синхронного детектора.

Для измерения спектральной плотности  $N(\omega)$  шума комплексной огибающей  $\tilde{Y}$  были использованы современные неклассические методы спектрального оценивания, основанные на применении авторегрессионной модели. По результатам измерений получена следующая оценка  $\hat{N}(\omega)$  неизвестной спектральной плотности сейсмических шумов вблизи резонансной частоты  $f_0 \approx 1,6$  кГц астрофизического канала:

$$\hat{N}(\omega_0 + \omega) \approx 10^{-28} \text{см}^2/\text{с}, \quad |\omega| \ll \omega_0 = 2\pi f_0.$$

2. Для обнаружения некогерентной последовательности гравитационных импульсов с неизвестными амплитудами и моментами  $\tau_k$  возникновения отдельных импульсов необходимо сформировать, используя в качестве входных данных нормированную огибающую  $r$ , реализацию случайного процесса [1]

$$\hat{\theta}(\tau) = \frac{1}{n_a} \sum_{k=1}^{n_a} \hat{\eta}_k,$$

$$\hat{\eta}_k = \ln I_0(r_k \hat{a}_k) - (1/2) \hat{a}_k^2, \quad (1)$$

где  $r_k$  — отсчеты нормированной огибающей,  $r_k = r(t_k)$ ,  $t_k$  — моменты измерения,

$$t_k = \tau_k + \tau_c = \xi_k + \tau_c + \tau, \quad (2)$$

$\hat{a}_k = \hat{a}(r_k)$ ,  $\hat{a}(r)$  — максимально правдоподобная оценка неизвестной нормированной огибающей моноимпульсного сигнала со случайной амплитудой [4].

Зависимость  $\hat{a}(r)$  приведена в работе [1]. Возможные значения неизвестного временного сдвига между моментами возникновения гравитационных импульсов и космических гамма-выпешек в экспериментах были ограничены априорным диапазоном  $(-\tau_p, \tau_p)$ , где  $\tau_p \approx 200$  с. Подобный выбор диапазона возможных значений неизвестного параметра  $\tau$  был обусловлен главным образом конструктивными особенностями системы регистрации баксанского лазерного деформографа ЛД-1 как преимущественно геофизического прибора с относительно невысокой ( $\pm 30$  с) фиксацией начала отсчета времени.

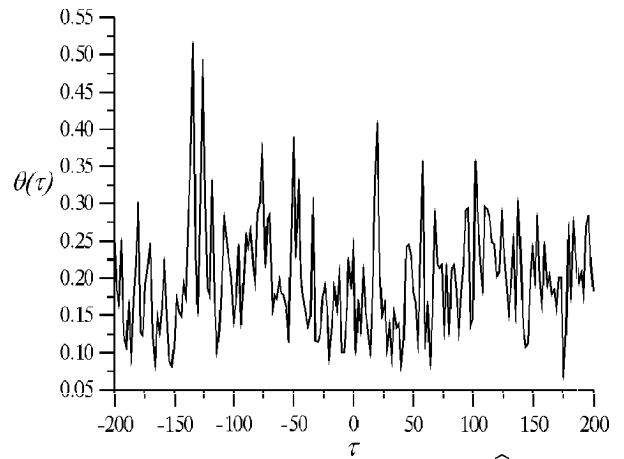


Рис. 1. Реализация случайного процесса  $\hat{\theta}(\tau)$

На рис. 1 приведена реализация случайного процесса  $\hat{\theta}(\tau)$ , полученная за период непрерывных наблюдений с ноября 1993 г. по июль 1994 г. В каталоге на этом интервале наблюдения приводятся (с учетом плановых профилактических остановок прибора)  $n_a = 73$  гамма-выпешки.

Абсолютный максимум реализации  $\hat{\theta}_m = \max_{\tau} \hat{\theta}(\tau)$ ,  $|\tau| \leq \tau_p \approx 200$  с оказался равным 0,52. Положение абсолютного максимума ( $\hat{\theta}_m = \hat{\theta}(\tau_m)$ ) дает максимально правдоподобную оценку  $\hat{\tau} = \tau_m \approx -132(\pm 30)$  с временного сдвига между гравитационными событиями и моментами возникновения космических гамма-выпешек.

3. Решение о наличии на интервале наблюдения  $(0, T)$  некогерентной последовательности гравитационных импульсов принимается, если выполняется следующее условие [6]:

$$\hat{\theta}_m > C.$$

Пороговый уровень  $C$  в приемном устройстве Неймана—Пирсона выбирается в зависимости от вероятности ложной тревоги  $\alpha$  (статистической ошибки первого рода) [1]:

$$\alpha = P\{\hat{\theta} > C | S = 0\} \approx 1 - F_{\hat{\theta}}^{M+1}(C), \quad (3)$$

где  $F_{\hat{\theta}}^{M+1}(x)$  — интегральная функция распределения случайного процесса  $\hat{\theta}(\tau)$  при отсутствии полезного

сигнала  $S$ ,  $M \approx (2\tau_p/\tau_c) \approx 400$  — количество независимых отсчетов нормированной огибающей  $r(\tau)$  на априорном интервале.

Аппроксимация неизвестной интегральной функции распределения  $F_\theta(x)$  кривыми Пирсона [4] приводит к бета-распределению [1]:

$$\widehat{F}_\theta(x) = I_z(p, q) = B_z(p, q)/B_1(p, q), \quad (4)$$

где  $B_z(p, q)$  — неполная бета-функция [7],  $B_z(p, q) = p^{-1}z^p F(p, 1-q; p+1; z)$ ,  $B_1(p, q) = \Gamma(p)\Gamma(q)/\Gamma(p+q)$ ,  $F(a, b; c; z)$  — гипергеометрическая функция,  $\Gamma(z)$  — гамма-функция,  $z = z(x) \approx 0,203x$ ,  $0 \leq z \leq 1$ .

Параметры  $p$  и  $q$  бета-распределения (4) могут быть вычислены по формулам, приведенным в работе [1], и при  $n_a = 73$  определяются следующим образом:

$$p \approx 13,434, \quad q \approx 274,281.$$

Значения интегральной функции распределения  $I_z(p, q)$  для этих параметров в интересующем нас диапазоне приведены в таблице.

$z$	$I_z(p, q)$	$z$	$I_z(p, q)$
0,064	0,9095488	0,068	0,9448745
0,065	0,9197874	0,069	0,9515808
0,066	0,9290426	0,070	0,9575764
0,067	0,9373861	0,071	0,9629104

Подстановка выражения (4) в формулу (3) приводит к следующему результату:

$$\alpha \approx 1 - I_u^{M+1}(p, q), \quad u = z(C).$$

Выберем для определенности вероятность ложной тревоги  $\alpha = 0,05$ . Воспользовавшись приведенной таблицей значений функции  $I_z(p, q)$  при  $M \approx 400$ , находим пороговый уровень  $C_\alpha = C(\alpha)$ :

$$C_{0,05} \approx 0,517. \quad (5)$$

Пороговый уровень (5) практически совпадает с величиной абсолютного максимума  $\widehat{\theta}_m \approx 0,51$  реализации случайного процесса  $\widehat{\theta}(\tau)$ , синтезированного на основе экспериментальных данных астрофизического канала деформографа. Следовательно, гипотеза о наличии на рассматриваемом интервале наблюдений некогерентной последовательности гравитационных импульсов, моменты которых  $\tau_k$  жестко привязаны к моментам  $\xi_k$  космических гамма-вспышек (см.(2)), не противоречит экспериментальным данным (коэффициент доверия  $\gamma = 1 - \alpha = 0,95$ ).

4. Расчет вероятности ложной тревоги  $\alpha$  можно заметно упростить, если воспользоваться асимптотическим представлением гипергеометрической функции

$$F(a, b; c; z) = [1 + O(|b|^{-1})]\Phi(a; c; bz), \quad (6)$$

где  $\Phi(a; c; bz)$  — вырожденная гипергеометрическая функция Гаусса [7]. В этом случае после несложных

преобразований имеем

$$\begin{aligned} B_z(p, q) &= p^{-1}z^p [1 + O(q^{-1})] \Phi(p; p+1; -(q-1)z) = \\ &= [1 + O(q^{-1})] (q-1)^{-p} \gamma(p, (q-1)z). \end{aligned} \quad (7)$$

Здесь

$$\gamma(p, x) = \Gamma(p) - \Gamma(p, x), \quad (8)$$

где  $\Gamma(p)$  и  $\Gamma(p, x)$  — полная и неполная гамма-функции [7].

Принимая во внимания выражения (6)–(8), получим асимптотическое представление интегральной функции распределения  $I_z(p, q)$ :

$$[I_z(p, q)]_{as} \approx 1 - \frac{\Gamma(p, (q-1)z)}{\Gamma(p)}. \quad (9)$$

При  $p \gg 1$  и  $(q-1)z \gg 1$  для приближенного расчета значений гамма-функций удобно воспользоваться разложением Стирлинга

$$\ln \Gamma(z) = [z - (1/2)] \ln z - z + (1/2) \ln 2\pi.$$

Описанные аппроксимации и точный вид интегральной функции распределения (4), рассчитанный на компьютере с использованием рядов для гипергеометрической функции (6), приведены на рис. 2. В интересующей нас области  $z \geq 0,065$  различие между приближенной формулой (6) и точной формулой (4) незначительно.

В заключение отметим, что «критическая» ситуация ( $\widehat{\theta}_m \approx C_\alpha$ ), наблюдаемая в эксперименте, стимулирует продолжение исследований; полученные результаты можно рассматривать как предварительные. Адаптивный алгоритм обработки (1) в ближайшее время предполагается тестировать на данных твердотельной гравитационной антенны «Улитка» (МГУ, ГАИШ).

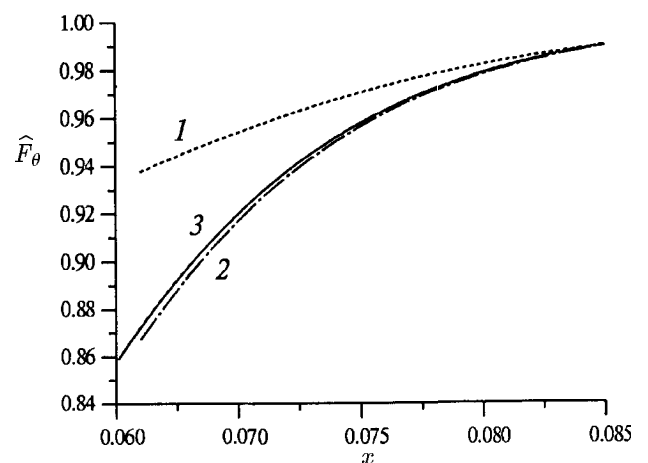


Рис. 2. Интегральная функция распределения случайного процесса (1), рассчитанная различными способами: 1 — с использованием разложений для бета-функций (формула (4)), 2 — с использованием рядов для гипергеометрической функции (формула (6)), 3 — по асимптотической формуле (9) с использованием разложения Стирлинга

## Литература

1. *Виноградов М.П., Гусев А.В., Милюков В.К.* // Вестн. Моск. ун-та. Физ. Астрон. 1997. № 5. С. 37 (Moscow University Phys. Bull. 1997. No.5).
2. *Милюков В.К., Кравчук В.К.* // Вестн. Моск. ун-та. Физ. Астрон. 1996. № 2. С. 73 (Moscow University Phys. Bull. 1996. No.2. P. 60).
3. *Бичак И., Руденко В.Н.* Гравитационные волны в ОТО и проблема их обнаружения. М., 1989.
4. *Тихонов В.И.* Оптимальный прием сигналов. М., 1983.
5. *Гуткин Л.С.* Теория оптимальных методов радиоприема при флуктуационных помехах. М., 1972.
6. *Левин Б.Р.* Теоретические основы статистической радиотехники. Т. 3. М., 1976.
7. *Бейтмен Г., Эрдейи А.* Высшие трансцендентные функции. М., 1973.

Поступила в редакцию  
11.04.97